

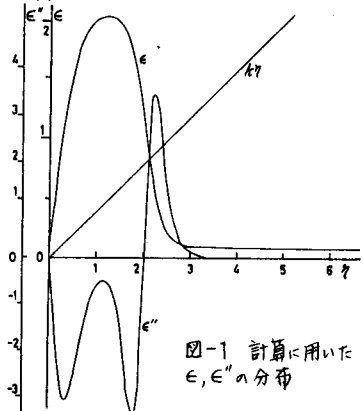
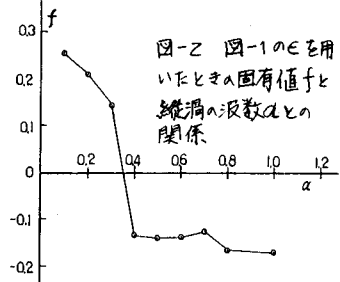
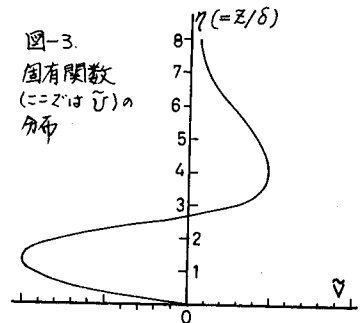
防衛大学校 正会員 山 田 正

1.はじめに 実河川の河床にみられるような浸透層上の流れの抵抗は、従来の粗面乱流で知られていた抵抗よりも相当大きくなることが知られている。^(1,2,3,4,5)著者もこの浸透層上の流れの抵抗則を明らかにする目的で実験的理論的に検討を続けている。このなかで^(4,5,6)Trass⁽⁸⁾によつて粘性底層をもたない粗面上の流れの中にも滑面上の流れ中に既に見出されていてバースティング現象と同様の構造が存在することが実験により明らかにされている。また福岡・福嶋ら⁽⁹⁾は河床波と同様の路床形状でも、水路においてボイルと呼ばれる大規模運動が存在することを見出している。よつて今日組織的運動あるいはコヒーレント運動と呼ばれているものは壁面の粗滑、形状にそれほど影響を受けずに普遍的に存在するのではないかと思われる。本研究はこのような考え方のもとに滑面上の組織渦の発生に関し、これを解析的に明らかにし、かつ壁面近傍の乱れの構造に関して検討を行なつたものである。

2.理論(a)壁面近傍に発生する縦渦に関する

壁面近傍の縦縞、縦渦(Streak構造)がバースティング現象と密接な関連性を有していることが今日までに知られており、縦縞の間隔は $\lambda_y^+ = 100$ 前後になることが多くの研究者によつて確認されている。本研究は上記の現象を縦渦の発生理論の観点から明らかにする。まずバースティング現象は流れ方向に $\lambda_x^+ = 1000$ 前後の構造をしていることから壁面近傍の流れは横断方向に比べて流れ方向の変化率は小さいことが考えられる($\partial/\partial x = 0$)。さらに流れは平均流し、他の場所から流れ込んだ乱れ(background turbulence) U_L 、そして組織的運動 \tilde{U}_L から構成されているとする。このとき \tilde{U}_L を支配する基礎式としてはかゝづ著者が開水路の縦渦の発生理論で導いたもの⁽⁷⁾と形式上同じものとなり、 $\epsilon \psi''' - (f + 2\alpha^2 \epsilon - \epsilon'') \psi'' + \alpha^2 (f + \alpha^2 \epsilon + \epsilon'') \psi = 0$ -----(1)

である。 $\epsilon = \epsilon(\psi)$ は縦渦に関する流れ関数であり、座標 ψ は各諸量は摩擦速度 U_L 、粘性底層厚 δ ($U_L \delta / L = 10$)で無次元化されている。このとき(1)式を $\psi(0) = \psi'(0) = \psi''(0) = \psi''(\infty) = 0$ -----(2)の境界条件のもとに解き、縦渦の発達を示す固有値 f ($f > 0$ で発達)と縦渦の横方向波数 α との関係を求めた。(1)式中の ϵ (動粘性係数 + 渦動粘性係数)としては壁面極めて近傍から流れのcore領域に到るまで実験結果(データ)との適合性が非常に高いといわれているMellorとHerringa⁽¹⁰⁾が与えた(滑らかに増加する)関数形を用いた。しかしこのときには全ての α の値に対しても ϵ は全く負であった。さらに ϵ として上記と同形のReichardt⁽¹¹⁾が提案する関数形を用いたが、このときも ϵ は全く負であった。このことから ϵ として時間平均された関数形を用いる限り縦渦は発生しないと結論されよう(定性的には2次元擾乱を扱つて Hussain-Reynolds, Landahl⁽¹²⁾ Betchov⁽¹³⁾らの結果と同じ結論である)。つぎに ϵ として種々の形状を与えて、 $f > 0$ となる ϵ を探してみた。図-1はかづBetchov⁽¹⁴⁾が乱流境界層の2次元擾乱に対する安定性を解析したときに用いた関数を本解析に適用したものである。すなわち壁面近傍(粘性底層の端)で一度大きな値をとった後、急激に下降する形の ϵ である。図-2はこのとき得られた $f - \alpha$ の関係であり、 $\alpha < 0.4$ ($\lambda_y^+ > 150$) で $f > 0$ (縦渦発生)であることを示している。図-2中の f には最大値が現れないが、Görtler渦の計算における最大増幅率は現れないこと

図-1 計算に用いた ϵ, ϵ'' の分布図-2 図-1の ϵ を用いたときの固有値 f と縦渦の波数 α との関係図-3. 固有関数 $(\epsilon = \epsilon(\psi))$ の分布

から流れ方向の変化を無視して安定解析に失敗の結果のように思われる。図-3はこのとき得られた $\alpha=0.4$ ($\lambda_0^+ \approx 150$) の場合の固有関数(横方向流速 \tilde{U})を示したものである。図-4は図-1の E の分布形に対応する流れ方向流速の鉛直分布を示したものである。この図より壁面近傍の流れ方向流速は小さくなっている、その上に高速流体が乗っている状況になっていることがわかる。なお(1),(2)式の固有値問題の解法には不变埋込み法の一種である Compound Matrix 法を用いている。

(b) 壁面近傍の組織的運動(特に E に着目して) 本節は壁面近傍に縦渦が十分に発達して存在しているときの \tilde{U} の時空間変化を調べたものである。ここで(1)式と導いたときと同様の仮定のもとに展開を行なうと \tilde{U} に関する $d\tilde{U}/dt + \tilde{w} d\tilde{U}/dZ = \partial(\epsilon \partial \tilde{U} / \partial Z) / \partial Z + \epsilon \partial \tilde{U} / \partial Y^2$ (3)を得る。つぎに $\tilde{U} = f(Z, t) e^{i\omega t}$, $\tilde{w} = g(Z, t) e^{i\omega t}$ とおくと $f(Z, t)$ に関する方程式を得る。つぎに鉛直方向流速 \tilde{w} として $\tilde{w} \propto \sin \omega t e^{i\omega Z}$ 形を用いると $f(Z, t)$ に関する解法を得ることができる。ここで \tilde{w} の振動数の比としては Klein らによるバースティング現象の周期 $U_0^2 T_B / L = 0.67 Re_0^{0.73}$ から $\omega = 2\pi/T_B$ を用いて。図-5 はこのとき得られた \tilde{U} の分布形を示すもので、 \tilde{w} の最大値に対応して \tilde{U} も粘接底層端で最大値を示している。図-6 はレイルズストレスの分布を、図-7 は $\tilde{U}-\tilde{w}$ の相関図を示している。これらの結果は(3)式中のパラメータの値の違いによつて多少の変化を示すものの大略図-5, 6, 7 で表わされているものと同様の結果になつていい。図-6 に示されるバースティングにともなうレイルズ応力の分布は Klein らによつて実験的に示されたものと同様の形状となつていい。

本計算では $t < 0$ で $\tilde{w} = 0$, $t > 0$ で周期的に変動する \tilde{w} の条件で計算しているが、動き始め直後の \tilde{U} も、 $-\tilde{U}\tilde{w}$ もともに定常時($t \rightarrow \infty$)のものよりも大きな値を示していく。結論 (1) 滑面上の流れの壁面近傍を見い出されていいる組織的運動を壁面近傍での縦渦の発生、発達と関連づけて解析方法を提示した。(2) 本解析によると壁面近くの縦渦は $\lambda_0^+ \geq 150$ で発達する。(3) このときの縦渦は $Z^+ \geq 80$ で減衰している。(4) 縦渦が発達するときの流れ方向流速は壁面近傍で小さく、その上には高速流体が乗っている。(5) 定常状態の E を用いるかわり縦渦は発生しない。(6) E の位相は \tilde{w} に対して若干遅れるが、その最大値は \tilde{w} の最大値を示す高さとほぼ同じである。(7) 本解析で得られたレイルズストレスの分布は実験結果と同様に $Z^+ = 10 \sim 20$ 前後で最大値をとり、 $Z^+ > 100$ ではほぼ 0 となる。(8) 本解析の結果、壁面近くの組織的運動はほぼ $0 < Z^+ \leq 100$ の領域内で発生・消滅している。以上である。

参考文献 (1) Gelhar L; Ralph M Parson Lab. Report No. 148, 1972

(2) Lovera, Friend Kennedy, J.H.; ASCE. J. Hyd. Div. vol. 95, No. HY-4, 1969.

(3) 中川・福津; 土論集, 第244号, 1975, (4), (5) 山田; 土論集投稿中

(6) 日野・山田; 第12回乱流シンポジウム, 1980, (7) 林・山田; 第21回水理講演会論文集, 1977, (8) Gras, A.J. J. Fluid Mechanics, 50, 1971,

(9) 福岡・福嶋; 土論集, No. 298, 1980, (10) Ng, B.S. and Reid, W.H., J. computational physics, 30, 1979.

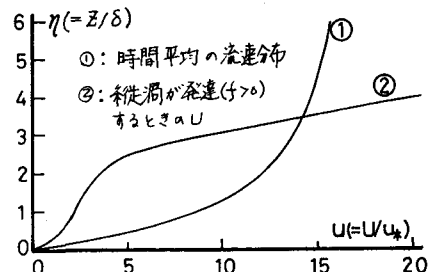


図-4. 図-1の E に対応する \tilde{U} の分布

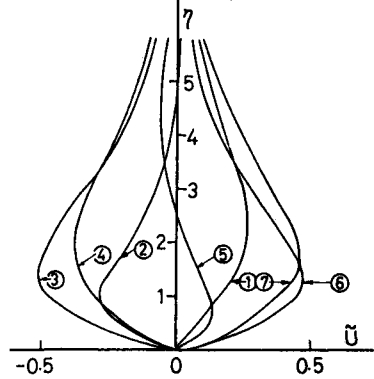


図-5. \tilde{U} の分布 (①→⑦ $3\pi/20$ 秒間)

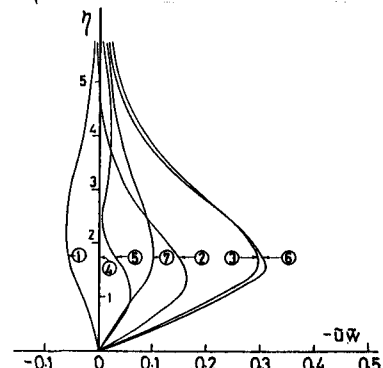


図-6 レイルズストレスの分布

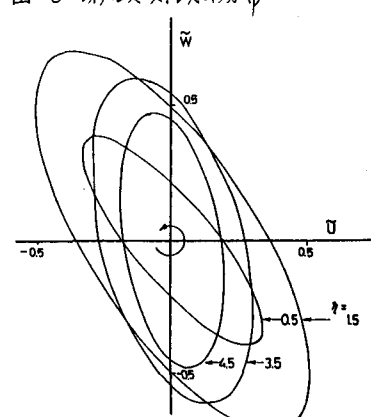


図-7 $\tilde{U}-\tilde{w}$ の相関図